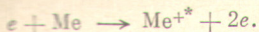


# ИЗМЕРЕНИЕ ФУНКЦИЙ ВОЗБУЖДЕНИЯ И СЕЧЕНИЙ ВОЗБУЖДЕНИЯ ЭЛЕКТРОННЫМ УДАРОМ ИСКРОВЫХ ЛИНИЙ Zn II И Cd II

*B. C. Алейников и B. B. Ушаков*

В связи с повышением в настоящее время интереса к ионным лазерам на парах цинка и кадмия [1-3] целесообразно проведение исследования элементарных процессов в плазме, приводящих к инверсии населенности. Одним из возможных механизмов возбуждения ионных уровней металла из основного состояния нейтрального атома является электронный удар



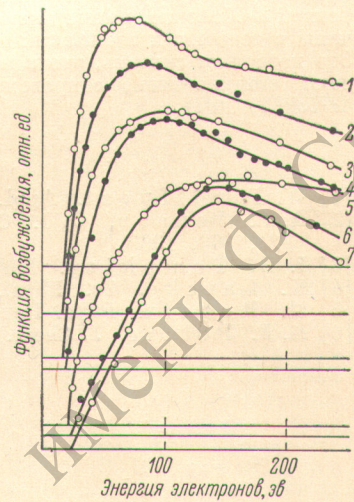
Ниже представлены результаты измерения эффективных сечений этого процесса и функций возбуждения (зависимостей сечений от энергии возбуждающих электронов) для ряда линий Zn II и Cd II.

Экспериментальная установка состояла из лампы с электронной пушкой [4], позволявшей сформировать моноэнергетический пучок электронов с известной и регулируемой энергией (разброс по энергиям  $0.5 \div 1.5$  эВ) и монохроматора ИСП-51 с фотоприставкой ФЭП-1. Для поддержания необходимого давления паров металла в пространстве взаимодействия с электронным пучком и предотвращения осаждения металла на окошке для выхода излучения лампа с электронной пушкой помещалась в печь. Давление регулировалось независимым изменением температуры специального отростка, содержащего цинк или кадмий, температура которого была ниже температуры печи на  $80 \div 100^\circ$ . При измерении эффективных сечений возбуждения искровых линий Zn II и Cd II установка градуировалась по известным сечениям возбуждения спектральных линий гелия, указанным в [5]. Исследование проводилось в диапазоне давлений паров металла от  $10^{-4}$  до  $2.10^{-2}$  мм рт. ст. и плотностях тока, не превышающих  $0.5$  мА/см $^2$ .

Измеренные функции возбуждения искровых линий Zn II и Cd II показаны на рисунке. Кривые носят довольно плавный характер и имеют единственный максимум,

## Сечения возбуждения искровых линий Zn II и Cd II

Уровни		$\lambda, \text{ \AA}$	$\sigma \cdot 10^{10}, \text{ см}^2$
верхний	нижний		
Zn II			
$3d^9 4s^2 (2D_{5/2})$	$3d^{10} 4p (2P_{3/2})$	7479	650
$3d^9 4s^2 (2D_{3/2})$	$3d^{10} 4p (2P_{1/2})$	5894	280
$3d^9 4s^2 (2D_{5/2})$	$3d^{10} 4p (2P_{3/2})$	6215	70
$3d^{10} 4f (2F_{5/2})$	$3d^{10} 4d (2D_{5/2})$	4912	15
$3d^{10} 4f (2F_{7/2})$	$3d^{10} 4d (2D_{5/2})$	4924	20
$3d^{10} 4f (2F_{5/2})$	$3d^{10} 4d (2D_{5/2})$	4924	
Cd II			
$4d^9 5s^2 (2D_{5/2})$	$4d^{10} 5p (2P_{3/2})$	4416	1500
$4d^{10} 4f (2F_{5/2})$	$4d^{10} 5d (2D_{3/2})$	5337	60
$4d^{10} 4f (2F_{7/2})$	$4d^{10} 5d (2D_{5/2})$	5378	90
$4d^{10} 4f (2F_{5/2})$	$4d^{10} 5d (2D_{5/2})$	5381	



Функции возбуждения искровых линий Zn II и Cd II.

Zn II: 1 —  $\lambda = 5894$ , 2 —  $\lambda = 7479$ , 3 —  $\lambda = 6215$ , 5 — суммарная для  $\lambda = 4912$  и  $\lambda = 4924$  Å; Cd II: 4 —  $\lambda = 4416$ , 7 —  $\lambda = 5337$ , 6 — суммарная для  $\lambda = 5378$  и  $\lambda = 5381$  Å.

который наблюдается в районе  $80 \div 100$  эв для переходов  $4s^2(^2D) \rightarrow 4p(^2P)$ Zn II и  $5s^2(^2D) \rightarrow 5p(^2P)$ Cd II, в районе  $150 \div 160$  эв для переходов  $4f(^2F) \rightarrow 4d(^2D)$ Zn II и  $4f(^2F) \rightarrow 5d(^2D)$ Cd II. Установлено, что форма функций возбуждения не претерпевает существенных изменений в указанном диапазоне давлений паров металла и плотностей токов пучка.

Эффективные сечения возбуждения искровых линий Zn II и Cd II, измеренные при энергиях электронов, соответствующих максимумам функций возбуждения, представлены в таблице. Точность измерения оценивается в 20–30%. Следует заметить, что в видимом спектре излучения Zn II и Cd II наблюдаются только указанные в таблице линии, т. е. эти спектральные линии имеют наибольшие сечения возбуждения электронным ударом из основного состояния нейтрального атома. Отметим также, что эффективные сечения возбуждения линий, излучающихся с уровней  $3d^94s^2(^2D)$ Zn II и  $4d^95s^2(^2D)$ Cd II, образующихся при возбуждении электрона, принадлежащего внутренней *d*-оболочке, имеют аномально большие значения, сравнимые по порядку величины с сечениями ионизации цинка ( $5 \cdot 10^{-16}$  см<sup>2</sup> [6]) и кадмия ( $8.5 \cdot 10^{-16}$  см<sup>2</sup> [6]). Это позволяет считать, что в ионизацию паров цинка и кадмия существенный вклад дают столкновения, сопровождающиеся возбуждением уровней  $3d^94s^2(^2D)$ Zn II и  $4d^95s^2(^2D)$ Cd II.

### Литература

- [1] W. T. Sifvast. Appl. Phys. Letters, 15, 23, 1969.
- [2] R. C. Jensen, G. I. Collins, W. R. Bennett. Phys. Rev. Letters, 23, 363, 1969.
- [3] I. D. Tompkins. Laser Focus, 5, 32, 1969.
- [4] K. Larche. Zs. Phys., 67, 440, 1931.
- [5] M. Robert. Phys. Rev., 134, A-888, 1964.
- [6] R. F. Pottie. J. Chem. Phys., 44, 916, 1966.

Поступило в Редакцию 9 февраля 1970 г.